

Detaillierte Prognose für Plasmopara viticola und Rebwachstum

Eine Gemeinschaftsentwicklung von Agroscope Schweiz und Staatl. Weinbauinstitut Freiburg, Deutschland
Berechnung: Sporangiedichte nach Dr. G. Hill, DLR Oppenheim; Rebwachstum nach Prof. Dr. H. Schultz, FA Geisenheim

Station: Keltern, 30.11.2018 13:00:00 - 31.12.2018 13:00:00

Erstellt: 24.12.2018 Daten vorhanden bis: 24.12.2018 16:10:00 Wettervorhersage bis: 31.12.2018 13:00:00

Keimbereitschaft: 21.04.2018
Austrieb (BBCH11): 21.04.2018

Wachstum angegeben für:
pro Haupttrieb (ohne Geiztriebe)

Durchschnittsrebsorte

| Datum | Sporulation | Sporangien-dichte | Inkubation | | Temperatur °C | | | Nieder-schlag | Blattnässe | | Wachstum | | Bemerkungen |
|-------|-------------|-------------------|------------|--------|---------------|------|------|---------------|------------|-------------------|------------|------------------|-------------|
| | | | 24.12. | 31.12. | Min | Ø | Max | | Std. | Grad-std. bei BN. | Blatt-zahl | Blatt-fläche cm² | |
| 30.11 | | | | | 1,6 | 5,3 | 7,6 | 2,8 | 23,8 | 152,6 | 33 | 3859 | |
| 01.12 | | | | | 5,4 | 7,6 | 10,6 | | 9,0 | 211,4 | 33 | 3859 | |
| 02.12 | | | | | 7,3 | 10,7 | 13,1 | 3,4 | 10,3 | 63,2 | 33 | 3859 | |
| 03.12 | | | ! | 54% | 9,6 | 12,1 | 13,8 | 9,0 | 17,0 | 89,1 | 33 | 3859 | |
| 04.12 | | | ! | 51% | 4,3 | 7,3 | 9,7 | 2,1 | 16,5 | 59,2 | 33 | 3859 | |
| 05.12 | | | | | 3,0 | 6,3 | 10,7 | | 4,8 | 9,2 | 33 | 3859 | |
| 06.12 | | | | | 5,3 | 9,2 | 11,9 | 1,0 | 14,0 | 119,1 | 33 | 3859 | |
| 07.12 | | | | | 6,0 | 10,7 | 12,8 | 2,7 | 4,8 | 22,7 | 33 | 3859 | |
| 08.12 | | | | | 5,0 | 6,7 | 9,6 | 1,2 | 11,3 | 30,5 | 33 | 3859 | |
| 09.12 | | | | | 5,4 | 7,3 | 9,5 | 4,0 | 9,7 | 28,9 | 33 | 3859 | |
| 10.12 | | | | | 1,4 | 4,2 | 6,6 | 4,5 | 8,5 | 8,7 | 33 | 3859 | |
| 11.12 | | | | | -0,2 | 1,9 | 3,6 | 0,1 | 7,5 | 13,7 | 33 | 3859 | |
| 12.12 | | | | | -0,5 | 0,9 | 2,8 | 1,1 | 14,0 | 7,7 | 33 | 3859 | |
| 13.12 | | | | | -2,3 | -1,0 | 1,1 | | 0,8 | | 33 | 3859 | |
| 14.12 | | | | | -1,7 | -0,9 | -0,5 | 0,4 | | | 33 | 3859 | |
| 15.12 | | | | | -2,9 | -1,8 | -0,6 | | | | 33 | 3859 | |
| 16.12 | | | | | -2,8 | 0,2 | 3,0 | 2,2 | 18,5 | 16,7 | 33 | 3859 | |
| 17.12 | | | | | -0,2 | 2,9 | 5,3 | 1,0 | 14,5 | 24,1 | 33 | 3859 | |
| 18.12 | | | | | 0,4 | 3,6 | 8,0 | | 10,0 | 45,8 | 33 | 3859 | |
| 19.12 | | | | | -0,1 | 4,0 | 8,6 | 0,2 | 11,7 | 29,7 | 33 | 3859 | |
| 20.12 | | | | | 5,0 | 6,5 | 8,6 | 0,5 | 7,3 | 17,4 | 33 | 3859 | |
| 21.12 | | | | | 6,8 | 9,6 | 12,3 | 2,3 | 10,0 | 47,9 | 33 | 3859 | |
| 22.12 | | | | | 7,3 | 9,6 | 11,7 | 23,7 | 17,7 | 57,4 | 33 | 3859 | |
| 23.12 | | | | | 7,6 | 9,0 | 11,2 | 3,5 | 11,8 | 114,4 | 33 | 3859 | |
| 24.12 | | | | | 2,6 | 6,3 | 11,6 | 13,8 | 13,0 | 138,7 | 33 | 3859 | |
| 25.12 | | | | | 0,2 | 1,4 | 3,0 | | 1,0 | 1,5 | 33 | 3859 | |
| 26.12 | | | | | -0,7 | 0,8 | 3,1 | | 7,0 | 6,3 | 33 | 3859 | |
| 27.12 | | | | | -0,7 | 1,3 | 4,3 | | 9,0 | 5,5 | 33 | 3859 | |
| 28.12 | | | | | 1,3 | 2,2 | 3,8 | | 5,0 | 7,7 | 33 | 3859 | |
| 29.12 | | | | | 0,6 | 2,0 | 3,4 | | 2,0 | 1,2 | 33 | 3859 | |
| 30.12 | | | | | 1,8 | 3,4 | 5,0 | 0,8 | 2,0 | 4,1 | 33 | 3859 | |
| 31.12 | | | | | 3,4 | 4,0 | 4,8 | 3,4 | 2,0 | 4,8 | 0 | 0 | |

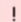
Sporangiendichte: Angabe in Anzahl Sporangien pro cm² Blattfläche * 1000. Werte liegen zwischen 0 und 300.

Gradstunden bei Blattnässe: werden bei durchgehender Blattbenetzung auch über Tagesgrenzen hinweg aufsummiert. Infektion wird am Tag beginnender Blattbenetzung angegeben. Wenn "Gradstunden bei Blattnässe" größer 50 ist sind Infektionsbedingungen gegeben.

Inkubation aktuell: Inkubationszeit in Prozent oder Datum des Abschlusses der Inkubationszeit (wenn erreicht).

Inkubation Vorhersage: Prozent der Inkubationszeit oder Datum anhand der Wettervorhersagedaten.

Datum der Keimbereitschaft: Berechnung bezogen auf Wettervorhersage.

Infektion: Infektionsstärke  gering  mittel  hoch

Realisierung und Programmierung: Geosens Software- und Messsystementwicklung, www.geosens.com